

図-9 流下ノズルの加熱性低下の流下性への影響確認結果 (KMOG試験) (1/2)

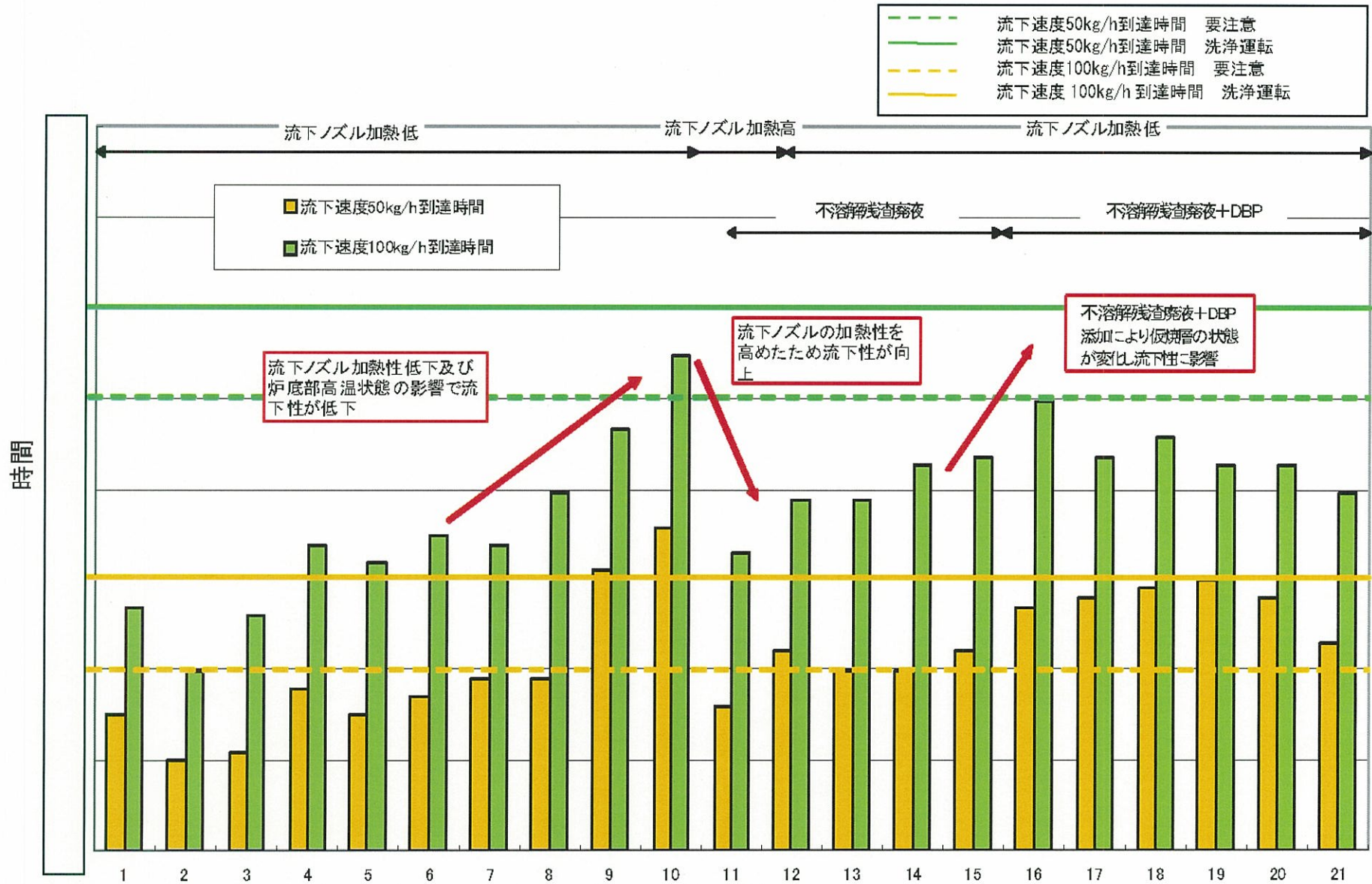


図-9 流下ノズルの加熱性低下の流下性への影響確認結果 (KMOC試験) (2/2)

図中の灰色のトレンドは、底部電極冷却温度設定が \square °C の場合の各パラメータの推移を示しており、その他の色のトレンドは底部電極冷却温度設定が \square °C の場合の各パラメータの推移を示している。

\square mm 温度などを同じ温度とするためには、底部電極冷却温度設定 \square °C のケースの方が補助電極冷却空気量を増加させる必要があり、冷却効率が低下することを確認した。

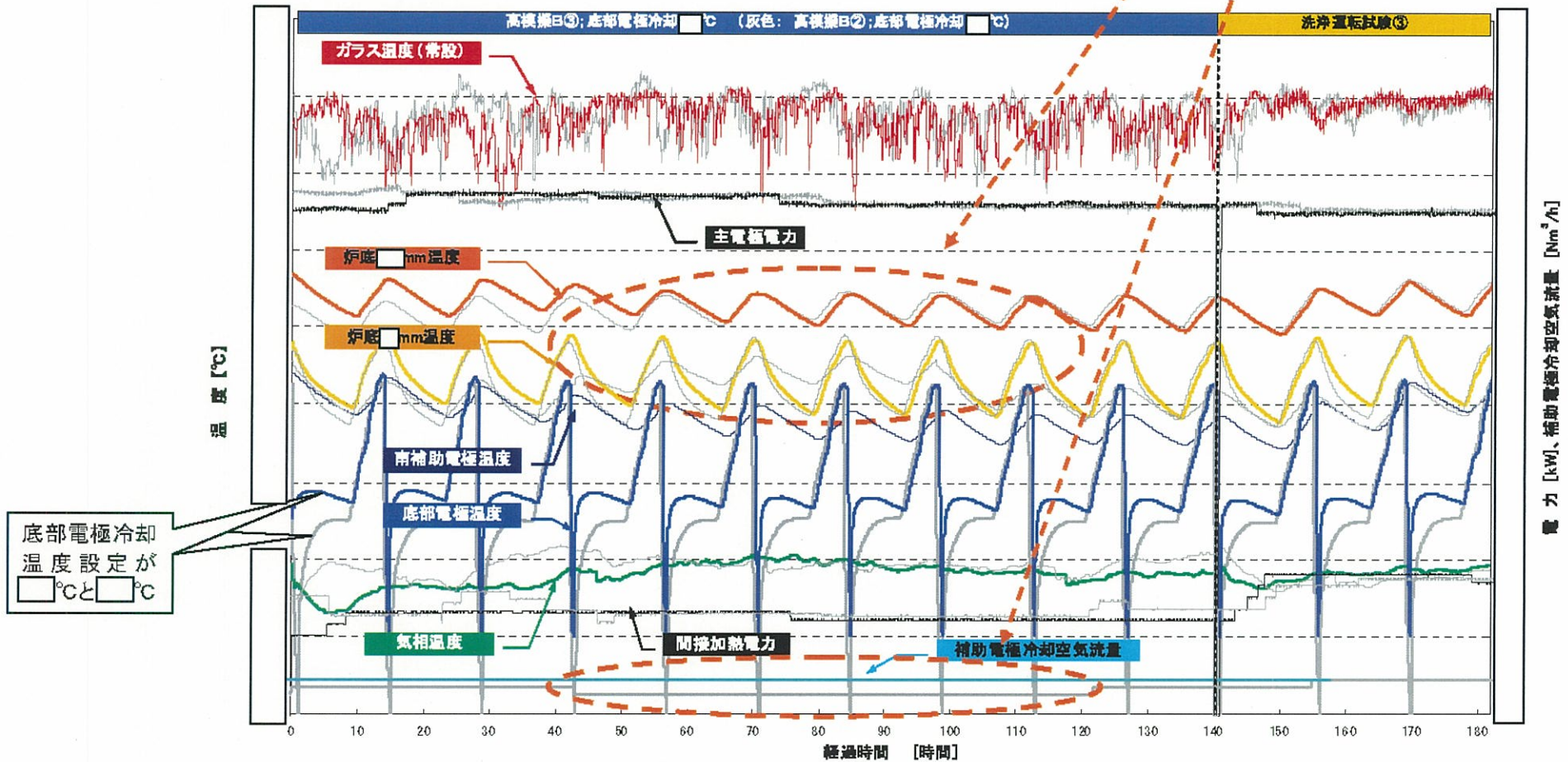


図-10 底部電極冷却温度設定の違いによる影響確認結果 (KMOC 試験)

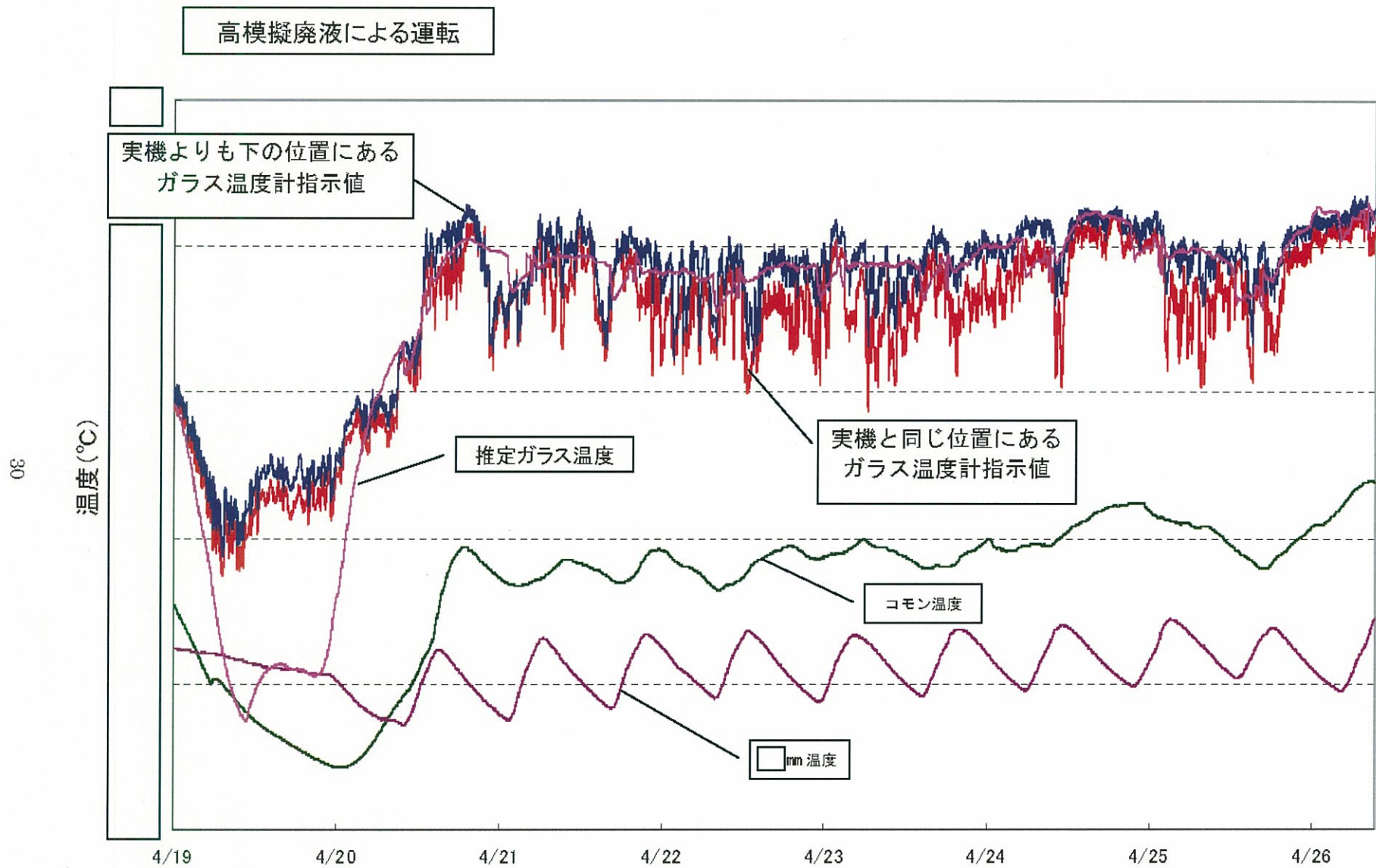


図-11 主電極間抵抗を用いたガラス温度推定値の有効性確認結果 (KMOC試験) (1/2)

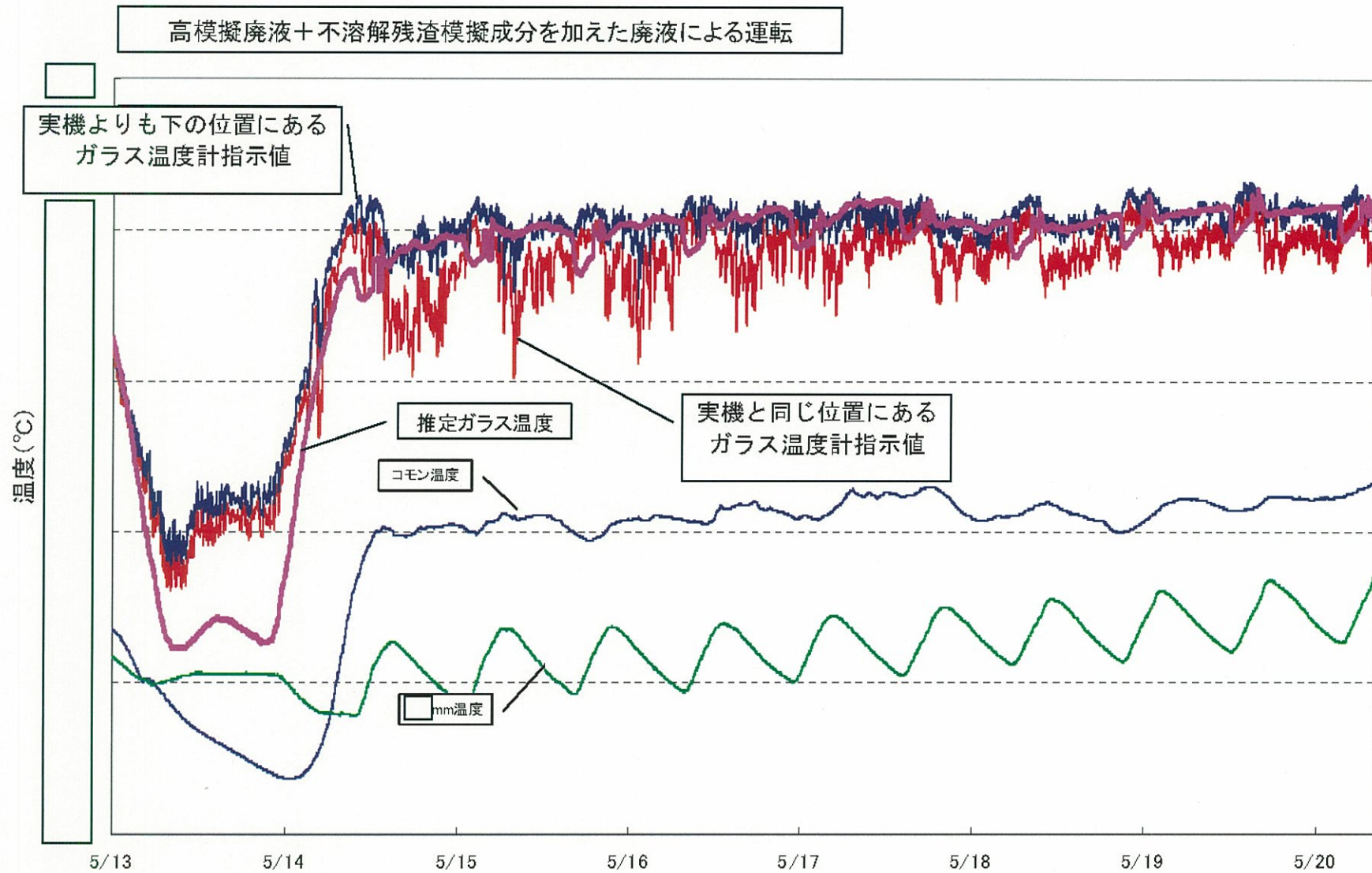


図-11 主電極間抵抗を用いたガラス温度推定値の有効性確認結果 (KMOC試験) (2/2)

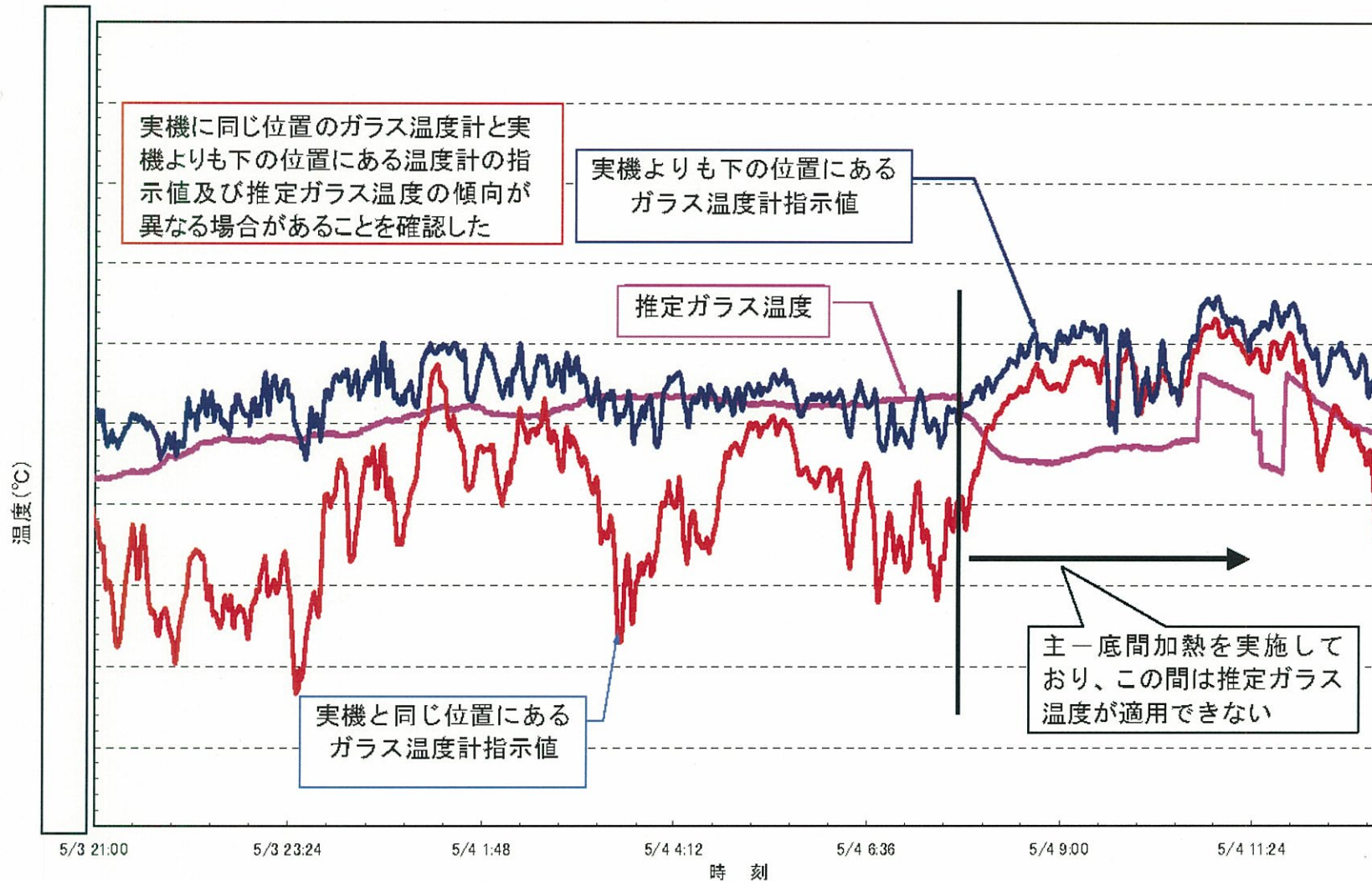


図-12 ガラス温度計位置によるガラス温度測定結果への影響 (KMOC試験)

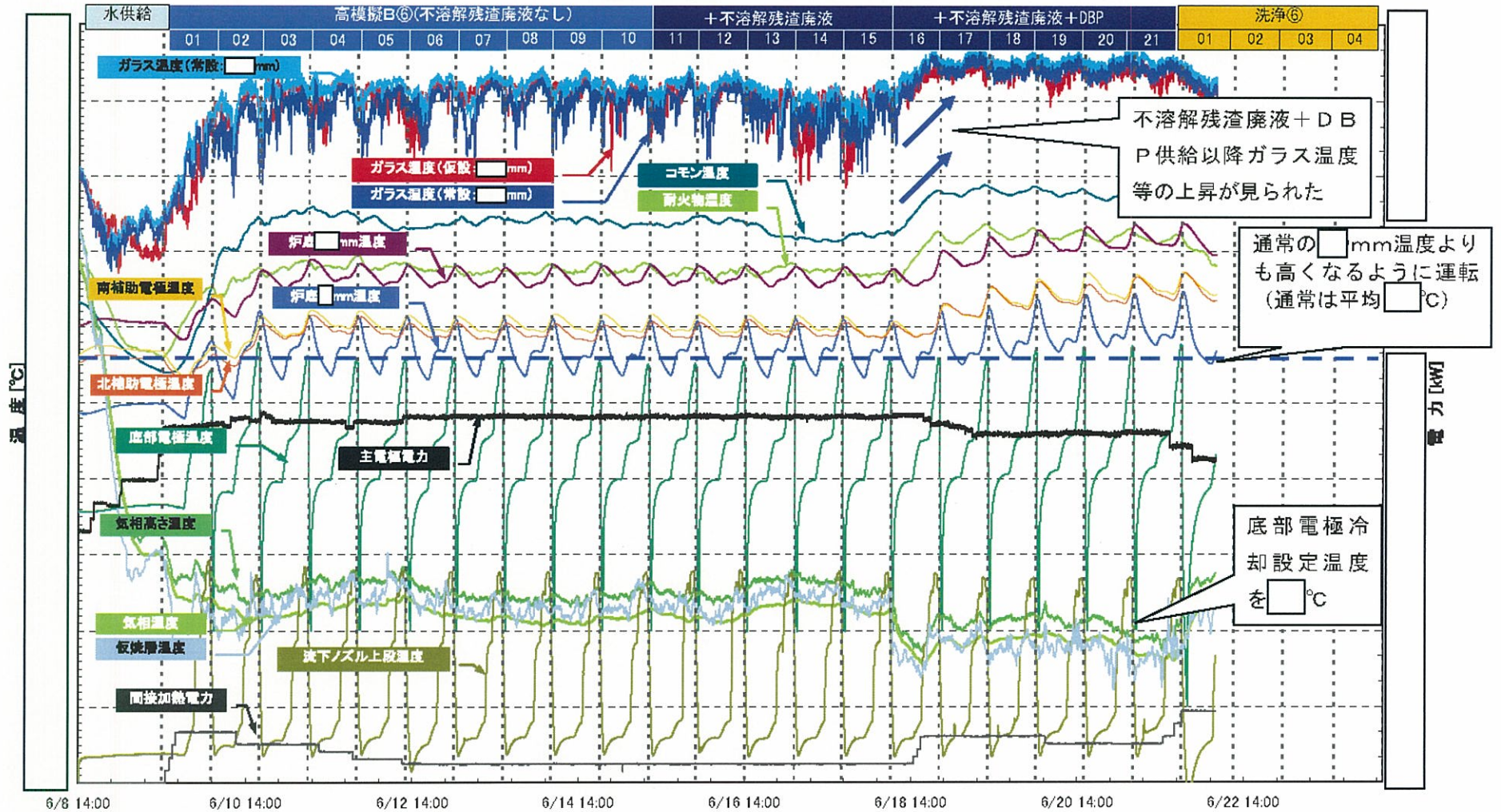
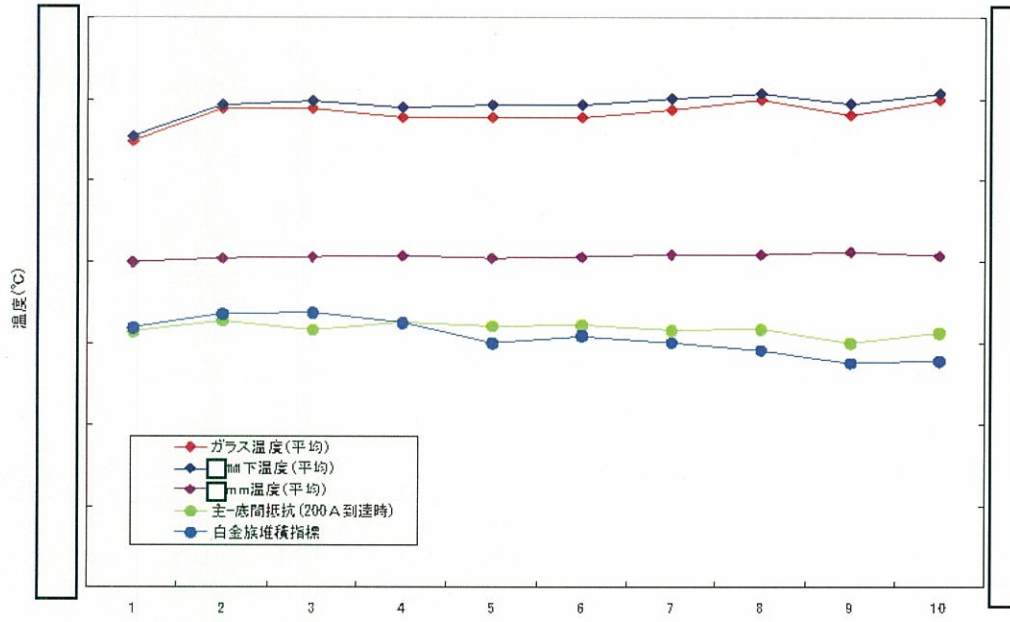


図-13 第5ステップにおけるガラス溶融炉の運転状況を模擬した試験 (KMOC試験)



炉底が低温で管理されている運転

炉底が低温で管理されている運転の
 場合の 1mm 温度計温度

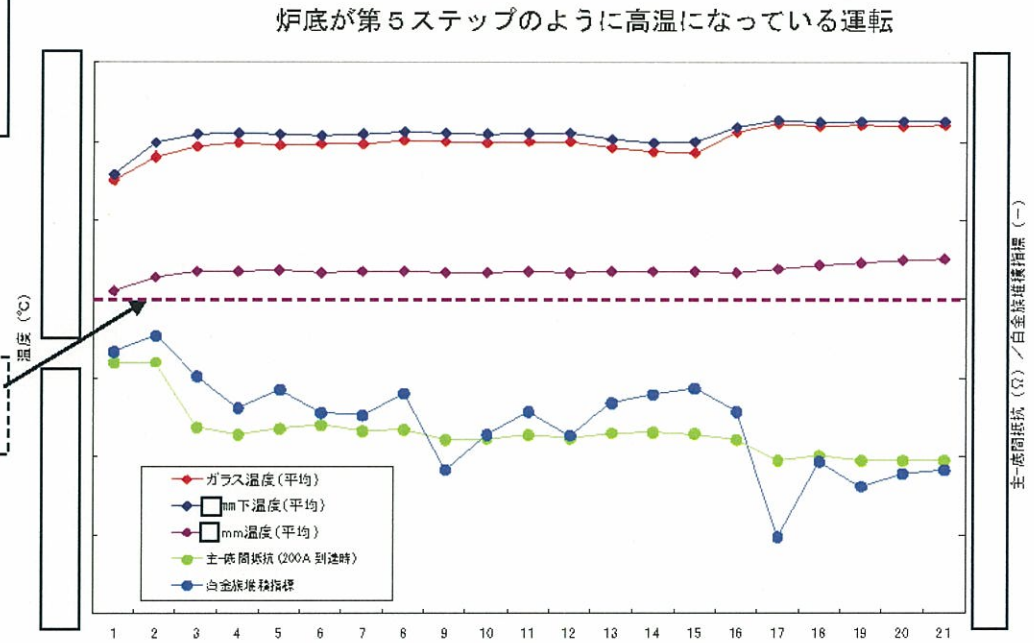


図-14 炉底部温度の白金族堆積指標及び主-底間抵抗への影響 (KMOG試験)

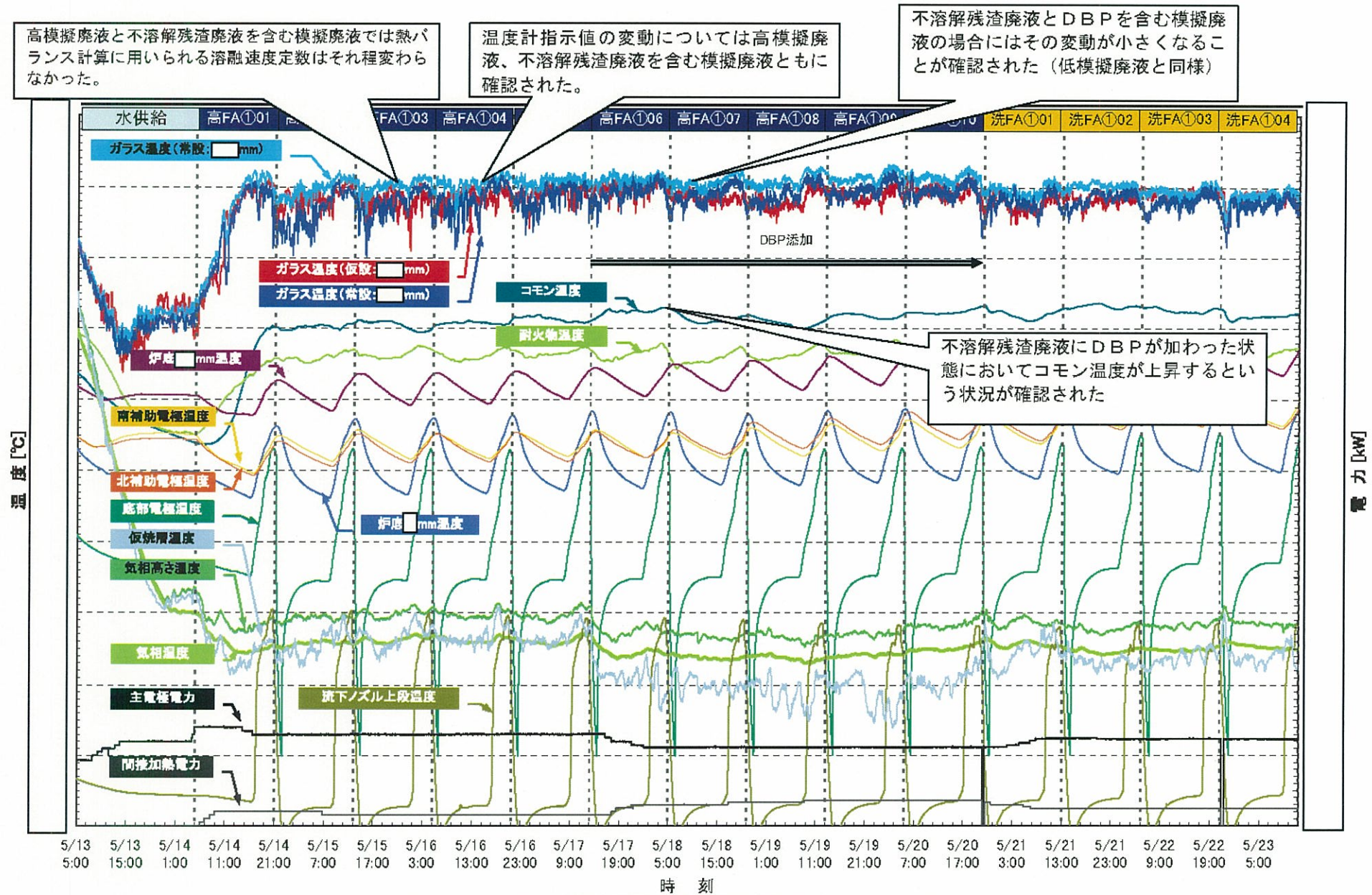


図-15 不溶解残渣の影響確認結果 (KMOC試験)